

(یادداشت مهندسی)

بررسی رسوب‌زدایی هیدرودینامیکی ذرات از محفظه بازگرمaza در یک کanal

بهزاد قاسمی^۲

گروه مهندسی مکانیک
دانشکده فنی و مهندسی
دانشگاه شهرکرد

روح‌ا... یداللهی فارسانی^۱

گروه مکانیک خودرو

دانشگاه آزاد اسلامی، واحد شهرکرد (مرکز اردل)
(تاریخ دریافت: ۸۹/۸/۱۷؛ تاریخ پذیرش: ۹۱/۴/۱۳)

چکیده

در این مقاله فرایند رسوب‌زدایی هیدرودینامیکی از یک محفظه بازگرمaza در یک کanal افقی تحت تأثیر جریان جابه‌جایی تأم آزاد و اجباری مورد مطالعه عددی قرار گرفته است. جریان با سرعت یکنواخت u_0 در دمای T_c وارد کanal می‌شود. کف محفظه در دمای ثابت T_h قرار دارد. در حالی که دیواره بالایی کanal در دمای T_c است. تحلیل برای محدوده‌ی وسیعی از عدد گراشوف ($10^1 \leq Gr \leq 10^5$) و عدد رینولدز ($10 \leq Re \leq 1000$) انجام شده است. نتیجه‌ها نشان می‌دهد که افزایش عدد گراشوف درصد رسوب‌زدایی از محفظه را افزایش می‌دهد، در حالی که افزایش عدد رینولدز و نسبت ابعاد محفظه، درصد رسوب‌زدایی را کاهش می‌دهد.

واژه‌های کلیدی: جابه‌جایی تأم، کanal، محفظه باز، رسوب‌زدایی ذرات

(Engineering Note)

Investigation of Hydrodynamic Removal of Particles from an Open Heated Cavity in a Channel

R. Yadollahi-Farsani

Islamic Azad Univ.
shahrekord Branch, Ardal Centre
(Received: 8 Nov., 2010; Accepted: 3 July, 2012)

B. Ghasemi

Eng. Faculty
Shahrekord Univ.

ABSTRACT

This paper presents the results of a numerical study on the removal process of fluid particles under the influence of mixed convection in a horizontal channel with an open cavity. The bottom wall of the cavity is heated at a constant temperature (T_h), while the top wall is maintained at a relatively low temperature (T_c). Fluid with a uniform velocity (u_0) and temperature (T_c) is introduced into the channel. The analysis is carried out for a wide range of values of Grashof numbers ($10^1 \leq Gr \leq 10^5$) and Reynolds numbers ($10 \leq Re \leq 1000$). The results show that the removal process of fluid particles increases by the increase in Grashof number, while decreases by the increase in Reynolds number as the well as Cavity's aspect ratio.

Keywords: Mixed Convection, Channel, Cavity, Particle Removal

۱ - مری (نویسنده پاسخگو): r.yadollahi@iaushk.ac.ir

۲ - دانشیار: ghasemi@eng.sku.ac.ir

فهرست علائم

$\frac{L}{H}$	نسبت ابعاد محفظه، A
m	عرض کanal، D
$g\beta(T_h-T_c)D^3/v^2$	عدد گراشf، Gr
H	عمق محفظه، H
m	عرض محفظه، L
Nu	عدد نوسلت متوسط
v/α	عدد پرانتل، Pr
$u_0 D/v$	عدد رینولدز، Re
%R	درصد ذرات بیرون رفته از محفظه
T_h	دمای کف محفظه، T_h
T_c	دمای دیواره بالایی، T_c
m/s	سرعت یکنواخت ورودی کanal، u_0
U,V	سرعت‌های بی‌بعد
X,Y	دستگاه کارترین بی‌بعد
α	ضریب پخش حرارتی، α
K^{-1}	ضریب انبساط حرارتی، K^{-1}
Θ	دمای بی‌بعد، $(T-T_c)/(T_h-T_c)$
τ	زمان بی‌بعد
m^2/s	ویسکوزیته سینماتیکی، τ

۱- مقدمه

می‌شوند، برای تمیز کردن آنها آب یا حلال مناسب را با فشار روی سطوح می‌پاشند و یا رسوبات را به صورت مکانیکی جدا می‌کنند. اما به تازگی در تمیزکاری هیدرودینامیکی^۱ به کمک انرژی حرکتی و حرارتی سیال رسوبات از سطح دیواره‌های مخازن و کanal‌ها جدا می‌شوند و از ته نشست رسوبات روی سطوح انتقال حرارت جلوگیری می‌شود. در ادامه به برخی تحقیقات انجام شده در این زمینه اشاره می‌شود.

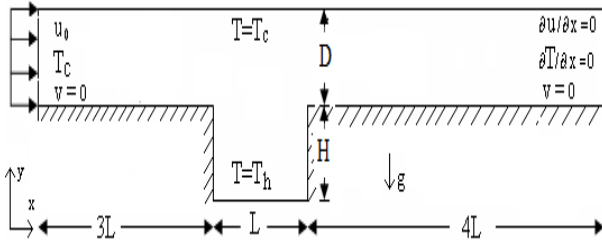
تحقیقی با موضوع جابه‌جایی از یک محفظه باز در داخل یک کanal افقی توسط لانگ^۲ و همکارانش [۱] انجام شده است. در این تحقیق اثرات اعداد رینولدز و گراشf و همچنین تغییر ابعاد محفظه بر روی انتقال حرارت از محفظه در یک کanal افقی بررسی شده است. نتیجه‌ها نشان می‌دهند که مقدار عدد رینولدز و گراشf روی شکل میدان جریان تأثیر می‌گذارد و منجر به ایجاد گردابه‌های چرخشی می‌شود. این در حالی است که نسبت ابعاد محفظه جهت‌گیری گردابه‌ها را تغییر می‌دهد. کریمی پور و قاسمی [۲] در مطالعه‌ای به بررسی اثر فرکانس نوسان دریچه محفظه روی میزان انتقال حرارت در جریان جابه‌جایی توأم پرداختند. امین‌الساداتی و قاسمی [۳] در مطالعه‌ای به بررسی انتقال حرارت جابه‌جایی توأم در یک کanal همراه با محفظه باز پرداختند. در این مطالعه ابعاد محفظه و محل گرمایش تغییر داده شد و در هر حالت نتیجه‌ها به شکل خطوط جریان، دما و مقدار عدد نوسلت در اعداد ریچاردسون مختلف بررسی شد. نتیجه‌ها نشان داد که با افزایش نسبت ابعاد محفظه میزان انتقال حرارت افزایش می‌یابد. جریان در کanal‌های همراه با محفظه باز گرمایش همچنان مورد توجه دانشمندان بسیاری قرار دارد، رحمان و همکارانش [۴] در مطالعه‌ای به بررسی جریان انتقال حرارت جابه‌جایی توأم در کanal همراه با محفظه تحت تأثیر میدان مغناطیسی پرداخته است. در این تحقیق اثر تغییر پارامترهای حاکم مانند عدد رایلی و هارتمن روی میدان جریان و میزان انتقال حرارت از محفظه بررسی شد. نتیجه‌ها نشان داد که با افزایش عدد رایلی^۳ و رینولدز، مقدار عدد

امروزه جریان جابه‌جایی سیال در کanal‌های همراه با محفظه باز به عنوان کاربردهای مهندسی وسیعی که دارد مورد توجه دانشمندان قرار گرفته است. در صنایع غذایی و شیمیایی معمولاً سطح مخازن و کanal‌ها به دلیل انتقال و تبادل حرارت با سیالات، با رسوب‌ها و ذرات ریز پوشانده می‌شود، که باعث کاهش نرخ انتقال حرارت و یا افت فشار بیشتر می‌شود. در نتیجه راندمان حرارتی با گذشت زمان به سبب جمع شدن رسوب روی سطوح انتقال حرارت کاهش می‌یابد، از این رو تلاش می‌شود که با روش‌های نوین و عملی از این پدیده جلوگیری شود. متدائل ترین نوع رسوب، تهشین شدن ذرات جامد معلق درون سیال روی سطوح انتقال حرارت (دیواره‌های کanal) است. معمولاً کanal‌ها و مخازن به صورت دوره‌های و هر بار با پیاده کردن تجهیزات از سیستم تمیز

1- Hydrodynamic Removal

2- Leong

3-Rayleigh Number



شکل(۱): نمایی از دامنه حل.

هدف این است که تأثیر تغییر نیروهای اجباری و غوطه‌وری بر درصد رسوب‌زدایی ذرات از محفظه پیش‌بینی شود. به طور کلی اگر یک محفظه باز گرمaza سر راه جریان واقع باشد، تأثیر فراوانی بر رفتار جریان داخل کanal می‌گذارد. نفوذ جریان اجباری کanal درون محفظه و تبادل حرارت با کف محفظه سبب ایجاد جابه‌جایی توأم در محفظه می‌شود.

۲- معادلات اساسی حاکم بر جریان

با استفاده از اصول بقاء، می‌توان معادلات پیوستگی، ممنتوم و انرژی را برای جابه‌جایی توأم استخراج کرد. معادلات حاکم، معادلات ناویر استوکس^۴ در حالت دو بعدی است، که برای سیال نیوتینی، با فرض سیال تراکم‌ناپذیر و با استفاده از تقریب بوزینسک^۵ به دست آورده شده است. برای تحلیل کلی‌تر، معادلات به صورت بی‌بعد تحلیل شده است. معادلات حاکم در دامنه حل عبارت است از:

معادله پیوستگی:

$$\frac{\partial U}{\partial X} + \frac{\partial V}{\partial Y} = 0, \quad (1)$$

معادله ممنتوم X:

$$\frac{\partial U}{\partial \tau} + U \frac{\partial U}{\partial X} + V \frac{\partial U}{\partial Y} = - \frac{\partial P}{\partial X} + \frac{1}{Re} \left(\frac{\partial^2 U}{\partial X^2} + \frac{\partial^2 U}{\partial Y^2} \right), \quad (2)$$

معادله ممنتوم Y:

$$\frac{\partial V}{\partial \tau} + U \frac{\partial V}{\partial X} + V \frac{\partial V}{\partial Y} = - \frac{\partial P}{\partial Y} + \frac{1}{Re} \left(\frac{\partial^2 V}{\partial X^2} + \frac{\partial^2 V}{\partial Y^2} \right) + \frac{Gr}{Re^2} \theta, \quad (3)$$

معادله انرژی:

$$\frac{\partial \theta}{\partial \tau} + U \frac{\partial \theta}{\partial X} + V \frac{\partial \theta}{\partial Y} = \frac{1}{Re \cdot Pr} \left(\frac{\partial^2 \theta}{\partial X^2} + \frac{\partial^2 \theta}{\partial Y^2} \right). \quad (4)$$

در این روابط از پارامترهای بی‌بعد زیر استفاده شده است:

نوسلت و در نتیجه میزان انتقال حرارت از کف محفظه افزایش می‌یابد، در حالی که افزایش عدد هارتمن^۱ از میزان انتقال حرارت می‌کاهد.

رحمان و همکارانش [۵] در مطالعه‌ای دیگر به بررسی اثر جانمایی منبع گرمaza در دیوارهای کanal روی میزان انتقال حرارت به جریان داخل کanal پرداخته است. نتیجه‌های این تحقیق نشان می‌دهد که اگر منبع گرمaza روی دیواره روبه‌رو به جریان ورودی کanal قرار گیرد، بیشترین نرخ انتقال حرارت اتفاق می‌افتد.

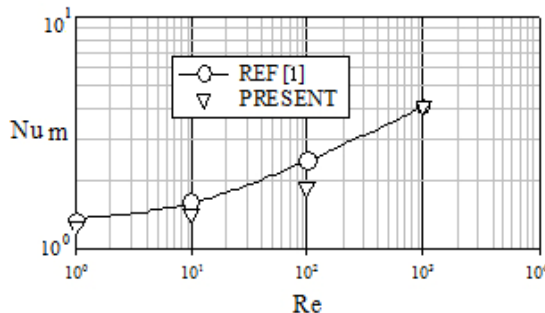
لی چان فانگ^۶ [۶] نقش جابه‌جایی توأم در کanal همراه با یک محفظه باز گرمaza را در نرخ تمیزکاری هیدرودینامیکی سیال داخل محفظه بررسی کرد. در این تحقیق فرایند بیرون‌دهی ذرات سیال داخل محفظه با استفاده از حل عددی معادلات با استفاده از روش مک^۷ مدل شده است. نتیجه‌ها نشان می‌دهد که تغییر عدد گراشف، تغییر شدیدی در نرخ بیرون‌دهی هیدرودینامیکی ذرات از محفظه ایجاد می‌کند. لی چان فانگ^۷ در مطالعه‌ای دیگر فرآیند بیرون‌دهی ذرات سیال داخل محفظه را توسط جریان سیالی با همان چگالی در کanal بررسی کرد. او نشان داد که تغییر نیروهای غوطه‌وری بر اثر انتقال حرارت از محفظه و همچنین تغییر نمایه سرعت جریان ورودی به کanal باعث تغییر در میزان انتقال حرارت و نرخ بیرون‌دهی ذرات سیال می‌شود.

جهت توسعه تحقیقاتی که در گذشته مورد بررسی قرار گرفته، در این مطالعه با در نظر گرفتن یک محفظه باز گرمaza درون یک کanal افقی، اثر تغییر عدد گراشف، عدد رینولدز و نسبت ابعاد محفوظه روی درصد رسوب‌زدایی ذرات از محفظه بررسی می‌شود. دامنه حل کanalی دو بعدی همراه با یک محفوظه باز گرمaza است که جریان آرام سیال مطابق شکل ۱ به طور یکنواخت با سرعت U_0 و دمای ثابت T_c وارد آن می‌شود. کف محفوظه در درجه حرارت ثابت T_h قرار دارد، در حالی که بقیه دیواره پایینی به خوبی عایق شده است. همچنین دیواره بالایی کanal در دمای ثابت T_c نگه داشته می‌شود.

۴- بررسی صحت کد نوشته شده

برای اجرای الگوریتم مورد نظر برنامه‌ای رایانه‌ای به زبان فرترن^۱ نوشته شد. جهت اثبات کارآیی روش و برای اطمینان از درستی کد نوشته شده، نتیجه‌های عددی حاصل از آن با کار مشابه انجام گرفته توسط لانگ و همکارانش [۱] مقایسه شد. برای این منظور ابعاد کanal و محفظه و همچنین شرایط مرزی جریان مطابق با تحقیق آنها اصلاح شد و نتیجه‌ها به صورت عدد نوسلت متوسط بررسی و مقایسه شد. نتیجه‌های حاصل از این بررسی در شکل ۲ آورده شده است.

در شکل ۲ تغییرات نوسلت متوسط بر حسب عدد رینولدز در حالت $Gr=10^5$ و $A=2$ عدد دیده می‌شود. نمودار با توجه به نتیجه‌های در دسترس، در مقیاس لگاریتمی رسم شده است. ملاحظه می‌شود که اختلاف نتیجه‌های حاصل از دو بررسی قابل قبول است.



شکل (۲): مقایسه نتیجه‌های به دست آمده از مطالعه حاضر و مرجع [۱]، $Gr=10^5$ و $A=2$

۵- روش حل

اولین قدم در حل عددی معادلات دیفرانسیل، شبکه‌بندی میدان حل است. نحوه شبکه‌بندی در روش حل بسیار مؤثر است، به گونه‌ای که هرگاه از شبکه‌بندی مناسب استفاده نشود، می‌تواند باعث کندی حل و یا حتی واگرایی جواب شود. در این مقاله با توجه به حل مسئله در دستگاه مختصات کارتزین، از شبکه‌بندی جابه‌جا شده^۲ در امتداد محورهای x و y استفاده شده است [۷]. حسن استفاده از شبکه جابه‌جا شده این است که به علت معلوم بودن سرعت‌ها به راحتی

$$\begin{aligned} \tau &= \frac{u_o t}{D}, P = \frac{\bar{P}}{\rho u_o^2}, \theta = \frac{T_c - T}{T_h - T_c}, \\ V &= \frac{v}{u_o}, U = \frac{u}{u_o}, Y = \frac{y}{D}, X = \frac{x}{D}. \end{aligned} \quad (5)$$

در این رابطه‌ها، D عرض کanal (طول مشخصه) و u_o سرعت مرجع ورودی به کanal است. علاوه بر پارامترهای بی بعد بالا از اعداد گراشf ($T_h - T_c$) D^3/V^2 ، $g\beta(T_h - T_c)D^3/V^2$ ، پرانتل V/A و ضریب پخش حرارتی $k/\rho c_p$ نیز استفاده شده است.

۳- شرایط اولیه و شرایط مرزی

برای به دست آوردن جواب یگانه یک معادله دیفرانسیل پاره‌ای، به مجموعه‌ای از شرایط مرزی و اولیه نیاز است. شرایط مرزی هیدرودینامیکی و حرارتی در نظر گرفته شده مطابق جدول ۱ هستند. شرایط اولیه به معنی معلوم بودن مقدار متغیر وابسته در یک حالت اولیه است. بنابراین به طور دلخواه به کلیه متغیرهای وابسته مقدار صفر را به عنوان شرط اولیه اختصاص می‌دهیم.

لازم به ذکر است که طول کanal بعد از محفظه در چند حالت مورد بررسی قرار گرفت و در نهایت مشخص شد که این طول باید چهار برابر عرض محفظه ($4L$) باشد تا شرایط توسعه یافته‌گی در خروجی کanal برقرار شود (شکل ۱).

جدول (۱): شرایط مرزی سرعت و دما در دامنه حل.

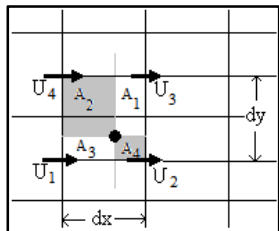
شرط مرزی سرعت:	
$V = 0$, $U = 1$	۱- ورودی
$\partial U / \partial X = 0$, $V = 0$	۲- خروجی
$U = V = 0$	۳- سایر
شرط دما:	
$\theta = 0$	۱- ورودی
$\partial \theta / \partial X = 0$	۲- خروجی
$\theta = 1$	۳- کف محفظه
$\theta = 0$	۴- دیواره بالایی
$\partial \theta / \partial X = 0$ or $\partial \theta / \partial Y = 0$	۵- سایر

مساحت‌ها تعیین می‌شود. این روش در واقع ترکیبی است از روش اویلری که میدان‌های جریان، فشار و دما را مورد توجه قرار می‌دهد و روش لاغرانژی که به هر ذره مقدار سرعت، فشار و دما را اختصاص می‌دهد. در این روش ابتدا به روش اویلری میدان جریان حل می‌شود و سپس با استفاده از نتیجه‌های بدست آمده، حرکت ذره به روش لاغرانژی مورد تحلیل قرار می‌گیرد.

با توجه به شکل ۳، ذره نشانه‌گذاری شده k در میدان حل و در حجم کنترل مربوطه در نظر گرفته می‌شود. برای بهدست آوردن مؤلفه افقی سرعت u_k از رابطه زیر استفاده

می‌شود:

$$u_k = \frac{A_1 U_1 + A_2 U_2 + A_3 U_3 + A_4 U_4}{dxdy}, \quad (7)$$



شکل (۳): طرح وزنی سطح، ذره در حجم کنترل نشان داده شده است.

و به همین ترتیب مقدار مؤلفه عمودی سرعت ذره نشانه‌گذاری شده، v_k ، به صورت زیر حاصل می‌شود:

$$v_k = \frac{A_1 V_1 + A_2 V_2 + A_3 V_3 + A_4 V_4}{dxdy}, \quad (8)$$

که در آن، A_i مطابق شکل ۳، مساحت تشکیل شده بین ذره نشانه‌گذاری شده در حجم کنترل و سطوح حجم کنترل و U_i و V_i مؤلفه‌های سرعت روی سطوح حجم کنترل هستند. روابط بالا در اصل میانگین وزنی سرعت سطوح حجم کنترل اطراف ذره را به ذره نسبت می‌دهند. بعد از معلوم شدن مؤلفه‌های سرعت ذره، مکان ذره در گام زمانی جدید با انتگرال‌گیری از معادلات (۶) به صورت زیر بدست می‌آید:

$$x_k^{n+1} = u_k^{n+1} \Delta t + x_k^n, \quad y_k^{n+1} = v_k^{n+1} \Delta t + y_k^n. \quad (9)$$

در این روابط، x_k^{n+1} و y_k^{n+1} موقعیت ذره در گام جدید را نشان می‌دهد. برای بررسی حرکت ذرات نشانه‌گذاری شده در گام‌های زمانی مختلف، لازم شد که مسئله به صورت غیردائم حل شود. لازم به ذکر است که در روش مک، معادله انرژی به

می‌توان دیهای را روی سطح حجم کنترل محاسبه کرد، به علاوه مقادیر فشار روی نقاط اصلی شبکه مشخص می‌شود. برای انتخاب شبکه حل مناسب، ابتدا بررسی روی تعداد نقاط شبکه انجام گرفت. بدین منظور اثر تعداد نقاط شبکه بر پارامترهای مهم مسئله از جمله درصد خروج ذرات و عدد نوسلت متوسط بررسی شد. باید توجه داشت عدد نوسلت به عنوان پارامتری تأثیرپذیر از تعداد نقاط شبکه و نیز میدان جریان و دما برای این بررسی مناسب است. بر این اساس شبکه غیریکنواخت 60×250 به ترتیب در راستای محور X و Y انتخاب شد.

معادلات (۱-۴) همراه با شرایط مرزی گفته شده، به روش اختلاف محدود مبتنی بر حجم، کنترل جبری شدند. لازم به ذکر است که در این مطالعه با استفاده از ایده نشانه‌گذاری و دنبال کردن ذرات^۱ در یک روش ابداعی الگوریتم سیمپل و مک^۲ با هم ترکیب شده است. بدین صورت که ابتدا معادلات سرعت و دما با استفاده از الگوریتم سیمپل^۳ حل و سپس در هر گام زمانی حرکت ذرات نشانه‌گذاری شده با استفاده از روش مک مدل می‌شود. روش مک در سال ۱۹۶۵ توسط ولچ^۴ و همکارانش [۹-۱۰] برای نمایش سطح آزاد سیال معرفی شد. سپس مک کی^۵ و همکارانش [۱۱] در سال ۲۰۰۷، این روش را مورد بررسی قرار داده و تکمیل کردند. این روش همچنان به عنوان روش حل معادلات کوپل در کنار روش سیمپل به کار برده می‌شود [۱۲]. در روش مک حرکت ذرات با مدل لاغرانژی، به صورت زیر توصیف می‌شود:

$$\begin{aligned} \frac{dx_k}{dt} &= u, \\ \frac{dy_k}{dt} &= v, \end{aligned} \quad (6)$$

که در آن، (x_k, y_k) موقعیت اولیه ذره k هستند. با انتگرال‌گیری از معادلات دیفرانسیلی (۶) نسبت به زمان، موقعیت ذره مشخص می‌شود. سرعت ذره با توجه به تأثیر دو سویه نقاط همسایه و با استفاده از مدل میانگین وزنی

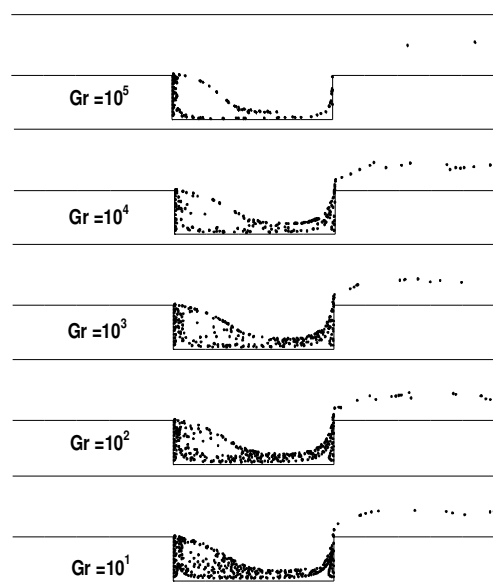
1- Mark and Follow

2- Marker and Cell (MAC)

3-SIMPLE

4- Welch

5- McKee



شکل (۵): موقعیت ذرات در گراشاف‌های مختلف در $\tau = 100$ و $A=4$ و $(Re=100)$.

همان‌طور که دیده می‌شود، با افزایش عدد گراشاف ذرات کمتری در محفظه باقی مانده‌اند. در نتیجه با افزایش عدد گراشاف درصد خروج ذرات از محفظه افزایش می‌یابد. همچنین دیده می‌شود ذرات باقیمانده در محفظه بیشتر در قسمت چپ محفظه، جایی که اثر عبور جریان اجباری کمتر است و معمولاً گردابه‌ها از این ناحیه شروع به رشد می‌کنند، قرار گرفته‌اند.

از طرفی، اثر تغییر عدد گراشاف روی میزان رسوب‌زادی ذرات را می‌توان با محاسبه درصد خروج ذرات (R) از محفظه با استفاده از رابطه (۱۰) بررسی کرد.

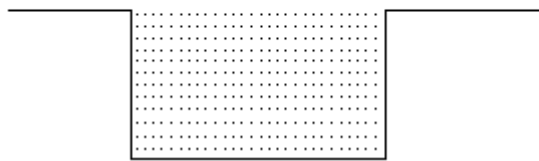
$$\%R = \frac{n}{2000} \times 100, \quad (10)$$

که در آن، n ، تعداد ذرات خارج شده از محفظه است. نتیجه‌های این بررسی در شکل ۶ نشان داده شده است. این شکل نشان می‌دهد که روند خروج ذرات از محفظه را با گذشت زمان برای گراشاف‌های مختلف و همچنین در $Gr=10^5$ ، که اثر جریانات جابه‌جایی آزاد نسبت به جریان اجباری در محفظه به مرتب بیشتر است، خروج ذرات از محفظه به مرتب مشهودتر است.

روش ضمنی حل می‌شود. اما کو^۱ و همکارانش [۱۳] نشان دادند که روش ضمنی گاهی به نتیجه‌های غیر فیزیکی منجر می‌شود. بنابراین در این بررسی از روش صریح استفاده شده است. برای انتخاب گام زمانی مناسب، درصد بیرون‌دهی ذرات در گام‌های مختلف بررسی شده و نتیجه‌ها نشان می‌دهد که گام بی‌بعد ($\tau=0/1$) برای بررسی حرکت ذرات مناسب است.

۶- نتایج و بحث

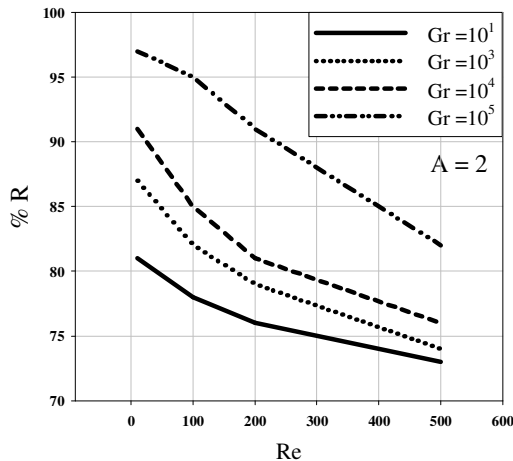
برای بررسی اثر پارامترهای مهم جریان روی خروج ذرات نشانه‌گذاری شده از محفظه در ابتدا ۲,۰۰۰ ذره درون محفظه در نظر گرفته شد. شکل ۴ موقعیت اولیه ذرات را به‌طور شماتیک نشان می‌دهد. با برقراری جریان در کanal و انتقال حرارت از کف محفظه، جریان‌های جابه‌جایی توأم به وجود می‌آید. این جریان باعث بیرون راندن ذرات از محفظه در راستای خطوط میدان جریان می‌شود. در ادامه اثر پارامترهای حاکم روی درصد خروج ذرات از محفظه بررسی خواهد شد.



شکل (۴): مکان اولیه ذرات در محفظه در لحظه $\tau = 0$.

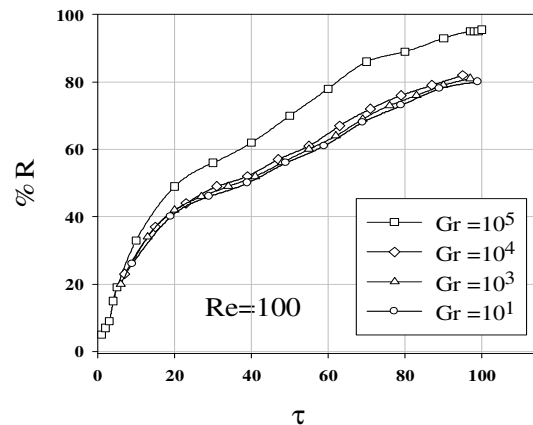
در ابتدا با تغییر عدد گراشاف اثر جریان جابه‌جایی آزاد روی حرکت ذرات و رسوب‌زادی از محفظه بررسی شده است. مشاهده می‌شود که با افزایش عدد گراشاف، نقش جابه‌جایی آزاد در انتقال حرارت توأم افزایش می‌یابد. این روند باعث به وجود آمدن گردابه‌هایی در جریان داخل محفظه می‌شود که با افزایش بیشتر عدد گراشاف بر قدرت آنها افزوده خواهد شد. موقعیت ذرات در نظر گرفته شده در زمان $\tau = 100$ به ازای $A=4$ و $Re=100$ ، در شکل ۵ نشان داده شده است.

گفت که با افزایش نقش جابه‌جایی اجباری اثر جابه‌جایی آزاد روی میدان جریان که نقش اساسی را در بیرون‌دهی ذرات از محفظه بر عهده دارند، کم می‌شود. برای نتیجه‌گیری بهتر در مورد نقش عدد رینولذ در خروج ذرات از محفظه، مطالعه‌ای روی درصد رسوب‌زدایی از محفظه در اعداد رینولذ و گراشف مختلف در حالت $A=2$ انجام شد. نتیجه‌های این بررسی در شکل ۸ نشان داده شده است.



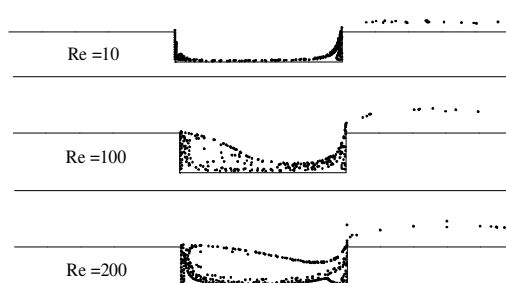
شکل (۸): درصد خروج ذرات از محفظه بر حسب عدد رینولذ در اعداد گراشف مختلف در زمان $\tau = 100$ ($A = 2$).

همان‌طور که دیده می‌شود، در کلیه اعداد گراشف، با افزایش عدد رینولذ، از میزان رسوب‌زدایی محفظه کاسته می‌شود. مقایسه این روند، بین اعداد گراشف مختلف نشان می‌دهد که در اعداد گراشف بالاتر، تأثیر عدد رینولذ مشهودتر است. با افزایش عمق محفظه، جریان سرد کمتری در معرض مستقیم با کف محفظه قرار می‌گیرد و این امر انتقال حرارت بین منبع گرم و سرد را کاهش می‌دهد، در نتیجه نرخ انتقال حرارت کاهش می‌یابد [۱۴]. به همین دلیل انتظار می‌رود تغییر نسبت ابعاد محفظه روی درصد رسوب‌زدایی از آن تأثیرگذار باشد. برای بررسی اثر نسبت ابعاد، محفظه در چهار نسبت ابعاد مختلف ۱ و ۲، ۳، ۴ در نظر گرفته شده و با ثابت نگهداشتن عدد گراشف و رینولذ اثر تغییر عمق محفظه روی درصد رسوب‌زدایی بررسی شده است. نتیجه‌های این بررسی‌ها در شکل ۹ در زمان $\tau = 100$ به ازای $Re = 100$ و $Gr = 10^5$ نشان داده شده است. با توجه به



شکل (۶): درصد خروج ذرات از محفظه با گذشت زمان در اعداد گراشف مختلف ($Re = 100$ و $A = 2$).

جریان اجباری داخل کanal به علت نقشی که در جابه‌جایی توأم بازی می‌کند، تأثیر زیادی روی رسوب‌زدایی از داخل محفظه دارد. تقویت جریان اجباری در قالب عدد رینولذ باعث کاهش دادن اثرات جابه‌جایی آزاد روی جریان سیال می‌شود. در مرحله بعد برای بررسی اثر تغییر جریان اجباری روی حرکت ذرات در محفظه عدد رینولذ تغییر داده شده است. نتیجه‌های این بررسی در زمان $\tau = 100$ به ازای $Gr = 10^3$ و $A = 4$ در شکل ۷ نشان داده شده است.

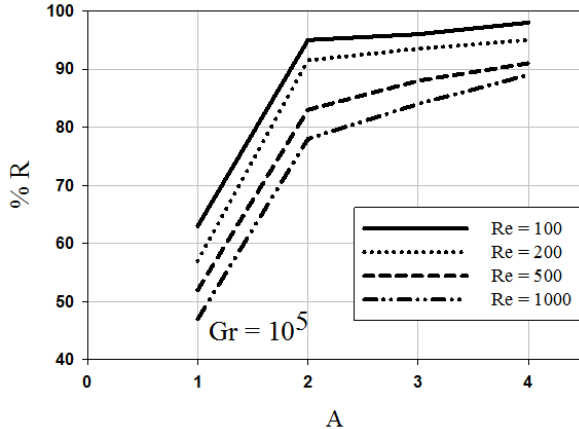


شکل (۷): موقعیت ذرات در محفظه در اعداد رینولذ مختلف در $\tau = 100$ ($Gr = 10^3$ و $A = 4$).

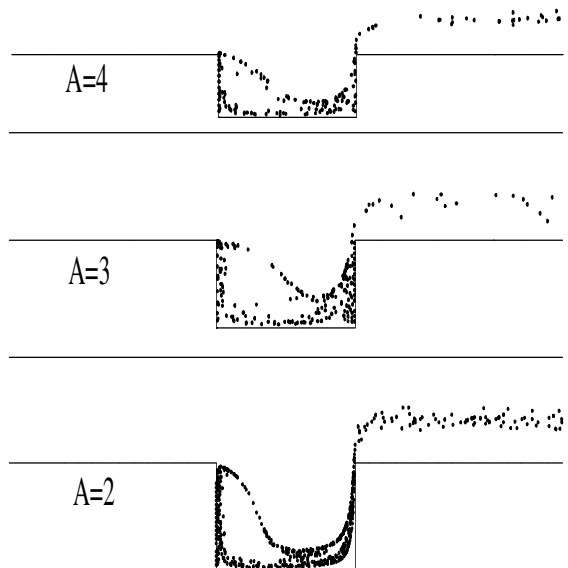
با توجه به این شکل، دیده می‌شود که در عدد رینولذ پایین که نقش جریان اجباری کم است، درصد خروج ذرات افزایش می‌یابد. به عبارتی، در عدد $Re = 10$ رسوب‌زدایی ذرات از محفظه نسبت به اعداد رینولذ بالاتر، بیشتر است. می‌توان

ذرات از محفظه نسبت به عمق های بیشتر دارد. همچنین دیده می شود که در $A \geq 2$ ، شب نمودار به طور چشمگیری کاهش یافته است. علت این است که در نسبت ابعاد بزرگ تر عمق محفظه کاهش می یابد و در نتیجه اثر افزایش A روی درصد بیرون دهی ذرات کاهش می یابد.

این شکل دیده می شود که کاهش نسبت ابعاد محفظه در صد خروج ذرات مارک شده از محفظه را کاهش می دهد. با کاهش نسبت ابعاد و یا به عبارتی افزایش عمق محفظه، نفوذ جریان سیال سرد داخل محفظه کم شده و در نتیجه از قدرت جریان جابه جایی آزاد کاسته می شود. این روند در صد خروج ذرات از محفظه را کاهش می دهد.



شکل (۱۰): درصد خروج ذرات از محفظه بر حسب نسبت ابعاد محفظه در اعداد رینولز مختلف در $\tau = 100$ و $(Gr = 10^5)$.



شکل (۹): تغییر موقعیت ذرات نسبت ابعاد مختلف محفظه در $\tau = 100$ و $(Gr = 10^5)$ و $(Re = 100)$.

۷- نتیجه گیری
در بررسی حاضر جریان جابه جایی تؤام در کanal افقی همراه با محفظه باز گرمaza به روش عددی تحلیل شد. معادلات مومنتم و انرژی حاکم به روش اختلاف محدود مبتنی بر حجم کنترل جبری شدند و توسط الگوریتم سیمپل و مک به طور همزمان حل شدند. اثر پارامترهای حاکم بر درصد خروج ذرات از محفظه به طور کامل بررسی شد.

به طور کلی، نتیجه های به دست آمده را می توان به صورت زیر جمع بندی کرد:

- ۱- با افزایش عدد گرافش و در نتیجه حرکت های جابه جایی آزاد، جابه جایی جریان درون محفظه افزایش یافته و درصد خروج ذرات از محفظه افزایش می یابد،
- ۲- افزایش قدرت جریان اجباری در قالب عدد رینولز جریان، باعث کاهش نقش جریان جابه جایی آزاد، که بیشترین سهم را در بیرون دهی ذرات داخل محفظه دارد، شده و در نتیجه درصد خروج ذرات از محفظه را کاهش می دهد و

در شکل ۱۰ این بررسی به طور جامع تر در اعداد رینولز مختلف انجام شده است. در این شکل درصد خروج ذرات از محفظه بر حسب نسبت ابعاد محفظه (A) در اعداد رینولز مختلف نشان داده شده است. خروج ذرات در نسبت ابعاد بزرگ تر، بیشتر بر اثر جریان جابه جایی اجباری صورت می گیرد؛ در حالی که در نسبت ابعاد کوچک تر خروج ذرات بیشتر بر اثر جابه جایی آزاد داخل محفظه صورت می گیرد، چرا که در عمق های بیشتر نفوذ جریان اجباری داخل محفظه کمتر می شود.

با دقت در شکل ۱۰ دیده می شود که در نسبت ابعاد بزرگ تر افزایش عدد رینولز تأثیر کمتری روی درصد خروج

7. Lih-Chuan, F., "Effect of Duct Velocity Profile and Buoyancy-Induced Flow on Efficiency of Transient Hydrodynamic Removal of a Contaminant from a Cavity". Int. J. Num. Meth. in fluids, Vol. 44, No. 12, pp.1389-1404, 2004.
8. Patankar, S.V. and Prakash, C. "An Analysis of the Effect of Plate Thickness on Laminar Flow and Heat Transfer in Interrupted- Plate Passages", Int. J. Heat and Mass Trans., Vol. 24, No. 11, pp. 1801-1810, 1981.
9. Harlow, F.H. and Welch, J.E., "Numerical Calculation of Time Dependent Viscous Incompressible Fluid with Free Surface", Phys. Fluids, Vol. 8, No. 12, pp. 2182-2189, 1965.
10. Welch, J.E., Harlow, F.H., Shannon, J.P., and Daly, B.J., "The MAC Method-A Computing Technique for Solving Viscous, Incompressible, Transient Fluid Flow Problems Involving a Free Surface", Los Alamos Sci. Lab. Rep. LA-3425, Los Alamos, 1966.
11. McKee, S., Ftome, M., Ferreira,V.G.,Cu-minato, J.A., Castelo, A., Sousa, F.S., and Mangiavacchi, N., "The MAC Method", Computers & Fluids, Vol. 37, No. 8, pp. 907-930, 2008.
12. Jena, S.K. and Mahapatra, S.K. "Numerical Modeling of Interaction Between Surface Radiation and Natural Convection of Atmospheric Aerosol in Presence of Transverse Magnetic Field", Appl. Math. Modeling, 2012 (In Press).
13. Kuo, C.H., Sharif, M.A.R., and Scheriber, W.C., "Numerical Experiments on the Simulation of Bernard Convection, Using MAC Method", Chem. Eng. Comm., Vol. 127, No. 1, pp. 1-21, 1994.
14. Yadollahi, R. and Ghasemi, B. "The Investigation of the Effect of a Cavity's Dimension on Mixed Convection Heat Transfer in a Channel", Int. Mech. Eng. Conf. ISME, Shiraz, Iran, 2007 (In Persian).

۳- با افزایش نسبت ابعاد محفظه درصد خروج ذرات از محفظه افزایش می‌یابد. همچنین مشخص شد که در حالتهایی که عمق محفظه بیشتر است، تأثیر افزایش عدد رینولدز مشهودتر است. بنابراین در مواردی که نیاز به استفاده از محفظه عمیق‌تر است، در انتخاب عدد رینولدز و در نتیجه جریان اجباری داخل کanal باید دقت بیشتری شود.

منابع

1. Leong, J.C., Brown, N.M., and Lai, F.C. "Mixed Convection from an Open Cavity in Horizontal Channel", J. Heat and Mass Trans., Vol. 32, No. 5, pp. 583-592, 2005.
2. Karimipour, A. and Ghasemi, B. "Mixed Convection in a Cavity with an Oscillating Moving Wall", Mech. & Aerospace Eng. J., Vol. 3, No. 3, pp. 49-60, 2007 (In Persian).
3. Aminossadati, S.M. and Ghasemi, B., "A Numerical Study of Mixed Convection in a Horizontal Channel with a Discrete Heat Source in an Open Cavity", European J. Mech. B/Fluids, Vol. 28, No.4, pp. 590-598, 2009.
4. Rahman, M.M., Parvin, S., Saidur, R., and Rahim, N.A., "Magneto-Hydrodynamic Mixed Convection in a Horizontal Channel with an Open Cavity", Int. Comm. in Heat and Mass Tran., Vol. 38, No. 2, pp. 184-193, 2011.
5. Rahman, M.M., Hakan-Öztop, F., Rahim, N.A., Saidur, R., Al-Salem, K., Amin, N., Mamun, M.A.H., and Ahsan, A., "Computational Analysis of Mixed Convection in a Channel with a Cavity Heated from Different Sides", Int. Comm. in Heat and Mass Trans., Vol. 39, No. 1, pp. 78-84, 2012.
6. Lih-Chuan, F. "Effect of Mixed Convection on Transient Hydrodynamic Removal of a Contaminant from a Cavity", Int. J. Heat and Mass Trans., Vol. 46, No.11, pp.2039-2049, 2003.